

УДК 535.39+535.417

ШИРОКОПОЛОСНЫЕ ОТРАЖАТЕЛИ НА ОСНОВЕ МНОГОСЛОЙНЫХ ДИЭЛЕКТРИЧЕСКИХ ПОКРЫТИЙ

*Ф. А. Королев, А. Ю. Клементьева, Т. Ф. Мещерякова
и И. А. Рамазина*

В статье рассмотрены пути построения широкополосных отражателей различного типа. Описаны свойства экспериментальных образцов широкополосных отражателей для видимой и ультрафиолетовой областей спектра.

Введение

Многослойные диэлектрические отражатели, построенные на основе четвертьволновых пленок, могут быть осуществлены практически с любыми коэффициентами отражения в пределах от нескольких процентов почти до 100% при малых потерях света на поглощение. В настоящее время используются зеркала, содержащие как нечетное, так и четное число слоев, дающее промежуточные значения R_{\max} . Непрерывная последовательность R_{\max} легко достигается изменением толщины последнего слоя.

Однако заданная величина R_{\max} у четвертьволновых зеркал наблюдается лишь на определенном участке длин волн $\Delta\lambda$, вне которого покрытие практически не работает. Границы зоны отражения четвертьволнового зеркала определяются соотношением, полученным Дюфуром [1]

$$\frac{\lambda_0}{\lambda_{\text{границ}}^2} = \frac{2}{\pi} \sin^2 \sqrt{\frac{n_H}{n_L}} \cdot \frac{n_H}{n_H + 1},$$

где λ_0 — длина волны, соответствующая R_{\max} зеркала, для которой толщина всех слоев составляет $0.25\lambda_0$; n_H и n_L — показатели преломления чередующихся слоев с высоким и низким показателем преломления.

Из приведенного соотношения видно, что ширина области отражения определяется отношением $\frac{n_H}{n_L}$, увеличиваясь с ростом $\frac{n_H}{n_L}$ и не зависит от числа слоев. Отношение $\frac{n_H}{n_L}$ применяемых для изготовления зеркал веществ в большинстве случаев составляет величину порядка $2 \div 3$, а расстояние до границ зеркала не превышает $0.7 \div 0.8 \lambda_0$, как это иллюстрирует таблица. В таблице приводится ряд композиций многослойных четвертьволновых зеркал и соответствующие им положения границ зоны отражения в шкале $\frac{\lambda_0}{\lambda}$.

На практике очень часто возникает необходимость расширить зону отражения зеркал. Наиболее важными видами широкополосных систем для приборостроения являются зеркала полного отражения в определенной широкой области спектра (R близко к единице без наложения требо-

Тип покрытия	Границы области отражения четвертьволнового зеркала		Ширина области отражения в нм
	$\frac{\lambda_0}{\lambda_{\text{нач.}}}$	$\frac{\lambda_0}{\lambda_{\text{конечн.}}}$	
PbF ₂ —Na ₃ AlF ₆ (n=1.9) (n=1.36)	0.88	1.12	270—340 ($\lambda_0=300$ нм)
PbCl ₂ —MgF ₂ (n=2.2) (n=1.38)	0.86	1.14	300—400 ($\lambda_0=3400\text{\AA}$)
ZnS—Na ₃ AlF ₆ (n=2.33) (n=1.34)	0.83	1.17	427—600 ($\lambda_0=500$ нм)
Sb ₂ S ₃ —CaF ₂ (n=2.5) (n=1.30)	0.825	1.175	850—1210 ($\lambda_0=1000$ нм)
Ge—Na ₃ AlF ₆ (n=4.0) (n=1.34)	0.67	1.33	1950—3900 ($\lambda_0=2.6$ мкм)

ваний на величину коэффициента пропускания T) и полупрозрачные зеркала с точно заданными величинами R и T в зоне отражения.

Необходимо заметить, что задачи на построение широкополосных отражателей различного типа неравноценны по сложности. Система полного отражения осуществляется сравнительно простыми путями, тогда как вторая система требует проведения длительных расчетов и сложнее в изготавлении.

Расчеты спектральных характеристик многослойных непоглощающих систем выполнялись нами на основе матричного уравнения с помощью ЭВМ по ранее описанной методике [2].

С целью отыскания путей построения широкополосных отражателей авторами было исследовано большое число систем симметричного и несимметричного вида. Было показано, что покрытия симметричного вида не позволяют получить гладкую кривую отражения. В данной статье описаны только те виды покрытий, которые позволяют осуществить широкополосные отражатели.

Многослойные системы полного отражения

Для построения широкополосных зеркал полного отражения ($R \approx 100\%$) были изучены 2 типа покрытий:

1) системы, содержащие чередующиеся слои двух диэлектриков (с высоким и низким показателями преломления), убывающие по толщине, и 2) системы, представляющие наложение нескольких четвертьволновых зеркал, нанесенных последовательно на одну подложку.

Многослойные широкополосные отражатели, состоящие из чередующихся слоев, убывающих по толщине. Теоретические расчеты многослойных систем с убывающими по толщине покрытиями, выполненные для различных сочетаний веществ (PbF₂—Na₃AlF₆, ZnS—Na₃AlF₆, Sb₂S₃—CaF₂ и др.) показали, что на этой основе могут быть осуществлены сколь угодно широкие отражатели с высоким значением $R \approx 1$. Многослойная система такого типа состоит из чередующихся слоев с низким и высоким показателями преломления, начинается с четвертьволнового слоя ($n_h = 0.25\lambda_0$); толщина последующих слоев скачкообразно убывает, например, по закону арифметической или геометрической прогрессии [3]. Основным моментом построения является требование малости изменений толщины от слоя к слою. Эти изменения должны быть тем меньше, чем ближе показатели прелом-

ления образующих покрытие веществ. Так, для веществ с $\frac{n_H}{n_L} = 1.4 \div 1.8$, работающих в видимой и ультрафиолетовой областях спектра, необходимо брать значения знаменателя геометрической прогрессии q в интервале от 0.98 до 1 или значения разности d арифметической прогрессии от 0 до $0.005\lambda_0$. Для веществ инфракрасной области спектра, где $\frac{n_H}{n_L} = 2 \div 3$,

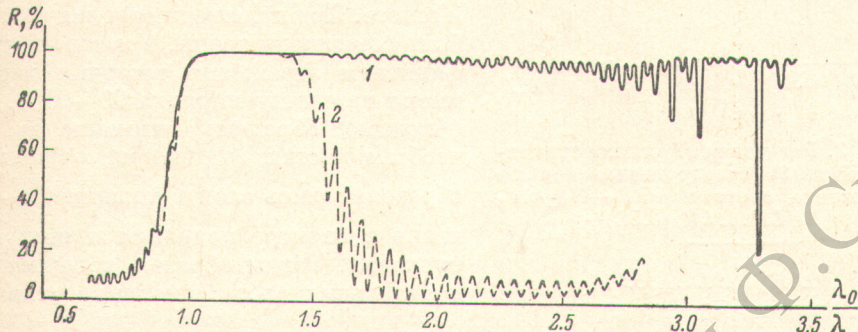


Рис. 1. Спектральные кривые отражения широкополосных покрытий $\text{PbF}_2-\text{Na}_3\text{AlF}_6$.

1 — система H ($0.992L$) ($0.985H$) . . . ($0.224L$) ($0.216H$) D , 2 — система H ($0.992L$) ($0.985H$) . . . ($0.680L$) ($0.672H$) D .

подходящими являются значения $q \approx 0.9 - 0.95$ и $d \sim 0.01 \lambda_0 - 0.02\lambda_0$. Если взять более грубые изменения слоев, то зона высокого отражения может не образоваться, например для $q = 0.8$ в случае системы $\text{PbF}_2-\text{Na}_3\text{AlF}_6$.

При построении широкополосных систем авторы пользовались также парными покрытиями, когда оптическая толщина изменялась скачком через 2 слоя. Спектральная кривая отражения такой системы испытывает незначительный сдвиг в сторону больших длин волн.

На рис. 1 приводятся расчетные спектральные кривые для покрытий $\text{PbF}_2-\text{Na}_3\text{AlF}_6$, построенных по схеме $-0.250\lambda_0-0.248\lambda_0-0.246\lambda_0 \dots$ Кривая 1 относится к системе, содержащей 99 слоев; зеркало отражает почти полностью в ультрафиолетовой и видимой областях спектра до 500 нм. Кривая 2 на рис. 1 относится к покрытию такого же типа с меньшим числом слоев, равным 41; область отражения зеркала значительно уже. Теоретические (кривая 1) и экспериментальные (кривая 2) данные для покрытия $\text{PbF}_2-\text{Na}_3\text{AlF}_6$ типа $0.25\lambda_0-0.250\lambda_0-0.245\lambda_0-0.245\lambda_0 \dots -0.190\lambda_0-0.190\lambda_0$ приводятся на рис. 2. Система с убывающими по толщине слоями (рис. 2) дает возможность в 1.5 раза расширить область отражения ультрафиолетового зеркала (20-слойного) при увеличении числа слоев до 26.

Из рассмотрения рис. 1 и 2 следует, что область отражения зеркал хорошо регулируется числом слоев и что расширение области отражения в несколько раз связано с нанесением большого числа слоев $\sim 60 - 100$.

Многослойные широкополосные зеркала, получаемые наложением четвертьволновых

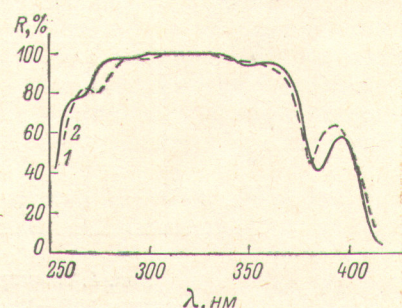


Рис. 2. Экспериментальная (1) и расчетная (2) кривые отражения системы $\text{PbF}_2-\text{Na}_3\text{AlF}_6$ ($0.76H$) ($0.76L$) ($0.78H$) ($0.78L$) . . . LHD .

з е р к а л . Другим способом осуществления зеркал полного отражения является наложение четвертьволновых зеркал, граници которых несколько перекрываются [4]. Число слоев каждого зеркала берется таким, чтобы коэффициент отражения R был близок к единице. Например, для систем $ZnS-MgF_2$ берется 13–15 слоев, для покрытий $PbF_2-Na_3AlF_6$ – 19–20 слоев. При наложении зеркал должны быть совмещены точки, в которых коэффициенты отражения соседних зеркал имеют величину порядка 90–95 %. Необходимо обращать внимание на то, чтобы в местах соединения зеркал не образовывались слои с толщиной $\sim \frac{\lambda}{2}$, иначе в спектре появляются пики пропускания. Таким образом, толщина соединительных слоев должна составлять $\leqslant \frac{\lambda}{4}$.

Рис. 3. Расчетная (1) и экспериментальная (2) спектральные кривые отражения системы $PbF_2-Na_3AlF_6$
 $HLH\dots LH (0.5L)$
 $\underbrace{(0.9H)(0.9L)\dots(0.9H)}_{18}$

Область отражения зеркала, полученного таким путем, теоретически может быть сколь угодно широкой; на практике она лимитируется механической прочностью покрытий.

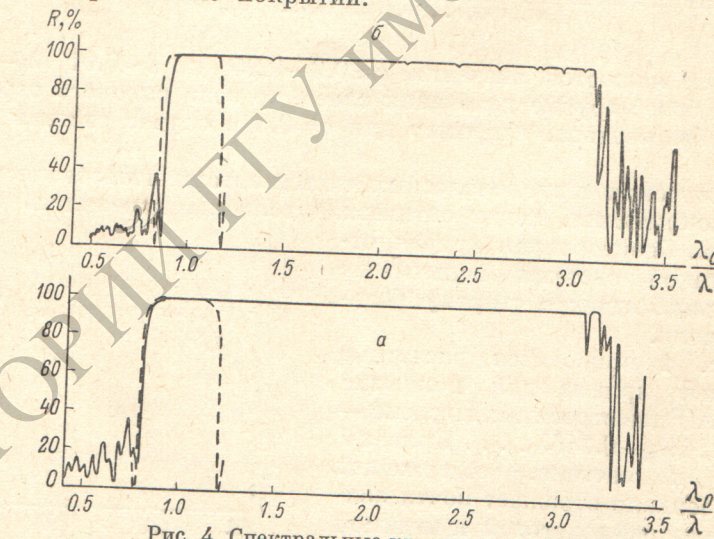
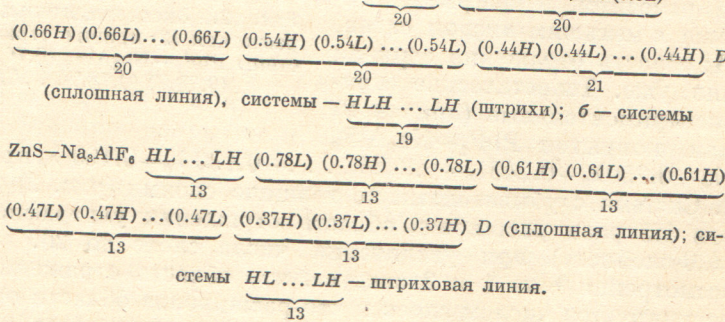


Рис. 4. Спектральные кривые отражения.
 a – системы $PbF_2-Na_3AlF_6$ $HL\dots LH (0.8H)(0.8L)\dots(0.8L)$



В настоящее время достаточно прочными могут быть получены покрытия для видимой и ультрафиолетовой областей спектра, содержащие до

50—100 слоев толщиной $\sim \frac{\lambda}{4}$. В инфракрасной области спектра число слоев снижается до 10—30 слоев.

Рис. 3 иллюстрирует случай наложения двух диэлектрических зеркал с оптической толщиной слоев $0.25\lambda_0$ и $0.225\lambda_0$ через слой криолита толщиной $0.125\lambda_0$. Система работает в ультрафиолетовой области спектра. Расчетная (1) и экспериментальная (2) спектральные кривые отражения хорошо согласуются.

Дальнейшие возможности расширения области отражения зеркал показаны на рис. 4, где а соответствует наложению 5 зеркал $ZnS-Na_3AlF_6$ с общим числом слоев, равным 65 и б соответствует наложению 5 зеркал $PbF_2-Na_3AlF_6$ с общим числом слоев 119. Кривые отражения обычных четвертьволновых зеркал приведены на рис. 4 штриховыми линиями для сравнения. Зеркало а отражает в видимой и близкой инфракрасной области спектра до 1500 нм, зеркало б перекрывает ультрафиолетовую и видимую области спектра.

Сравнивая два способа построения широкополосных зеркал высокого отражения, следует отметить, что число слоев в обоих случаях относительно велико. Практически легче осуществляются зеркала, полученные наложением четвертьволновых, так как методика их контроля в процессе нанесения слоев почти не отличается от методики получения четвертьволновых покрытий.

Широкополосные отражатели с заданным значением R

Осуществление широкополосных зеркал, имеющих заданные, промежуточные значения $R \neq 100\%$ в определенной области спектра, является наиболее трудоемкой задачей как в области проведения расчетов, так и в экспериментальном получении образцов.

Задача решается наиболее эффективно на основе сложных неравнотолщинных покрытий, включающих слои с различными показателями преломления [5].

Одним из методов расчета таких систем является варьирование слоев по толщине и показателю преломления для отыскания состава системы (метод Эльснер). Метод заключается в том, что с помощью ЭВМ вычисляются спектральные кривые пропускания (отражения) систем с различным набором параметров n_h и n_l и сравниваются с заданным габаритом. Машина отбирает те варианты состава системы, которые удовлетворяют заданному габариту.

Авторы пользовались методом варьирования слоев по толщине, что позволило рассчитать ряд широкополосных отражателей для ультрафиолетовой и видимой областей спектра.

На рис. 5 приводится теоретическая (1) и экспериментальная (2) кривые отражения широкополосного ультрафиолетового зеркала с коэффициентом отражения около 90—92%. Система выполнена на основе слоев $PbF_2-Na_3AlF_6$ и содержит 21 слой. Область отражения зеркала шире в 1.5 раза по сравнению со случаем четвертьволнового. На границах области отражения имеется расхождение расчетных и экспериментальных данных, связанное, очевидно, с тем, что в расчетах не учитывалась дисперсия показателей преломления веществ.

Широкополосные системы для видимой области спектра осуществлялись авторами на основе расчетных данных, приведенных в работе [6]. Рис. 6 представляет спектральные кривые отражения (1 — теоретическая, 2 — экспериментальная) 15-слойного отражателя на основе слоев $ZnS-Na_3AlF_6$. Система обеспечивает величину коэффициента отражения в видимой области спектра порядка 95%. Данная система, как показано путем расчета и экспериментально (3), может быть упрощена без заметного ухудшения характеристик.

Авторы также получили ряд экспериментальных образцов широкополосных зеркал для видимой области спектра, предложенных Эльснер [7]. Лучшие результаты показали 11-слойная система $ZnS-Na_3AlF_6$, имеющая следующий состав: $0.25\lambda_0 - 1.25\lambda_0 - 1.25\lambda_0 - \underbrace{0.25\lambda_0 \dots 0.25\lambda_0}_{5} - 0.5\lambda_0 - 0.25\lambda_0 - 0.25\lambda_0$. Ширина области отражения экспериментальных образ-

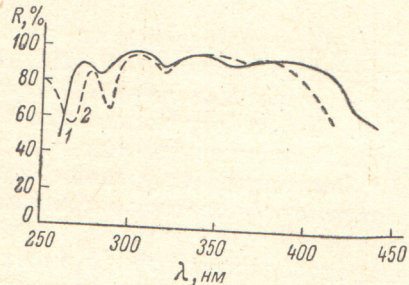


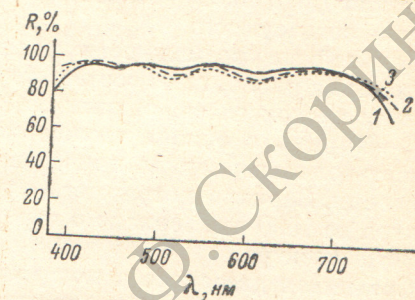
Рис. 5. Расчетная (1) и экспериментальная (2) кривые отражения системы $PbF_2-Na_3AlF_6$ $HLHLH$.
 $\cdot(0.997L)(0.890H)(1.01L)(0.94H)$.
 $\cdot(0.84L)(0.84H)(0.788L)(0.788H)$.
 $\cdot(0.76L)(0.74H)(0.74L)\dots(0.74H)D.$

цов данного состава простирается от 400 до 730 нм, среднее значение коэффициента отражения лежит вблизи 92%. Последняя система несколько уступает варианту (рис. 6) в отношении величины отклонений R от среднего значения ($\delta R \approx 7 \div 8\%$), однако она имеет большое преимущество в простоте изготовления, так как толщины всех слоев в этом случае кратны $\frac{\lambda}{4}$ от фиксированной длины волны.

Проведенные исследования позволили выявить структуру и осуществить практически ряд многослойных диэлектрических систем с широкой областью отражения.

В заключение авторы благодарят за участие в расчетах систем А. И. Дмитриева.

Рис. 6. Спектральные кривые отражения (1 и 2) системы $ZnS-Na_3AlF_6$ $(0.6H)(0.6L)(0.6H)(0.629L)(0.673H)$.
 $\cdot(0.673L)-\cdot(0.753H)(0.753L)(0.908H)$.
 $\cdot(1.016L)(0.832H)(0.965L)$ $HLHD$ и системы $(0.6H)(0.6L)(0.6H)(0.64L)$.
 $\cdot(0.68H)(0.68L)(0.76H)-\cdot(0.76L)(0.9H)$.
 $\cdot(1.02L)(0.84H)(0.96L)$ $HLHD$ (3).



Литература

- [1] C. Dufour. J. Phys. Rad., 11, 321, 1950.
- [2] Ф. А. Королев, А. Ю. Клементьев, Т. Ф. Мещерякова, И. А. Рамазина. Опт. и спектр., 27, 303, 1969.
- [3] O. S. Heavens. H. M. Liddle. Appl. Opt., 5, 373, 1966.
- [4] A. F. Turner, P. W. Baumeister. Appl. Opt., 5, 69, 1966.
- [5] I. A. Dobrowolsky. Appl. Opt., 4, 937, 1965.
- [6] P. W. Baumeister, I. M. Stone. J. Opt. Soc. Am., 46, 228, 1956.
- [7] S. H. Эльснер. Опт. и спектр., 17, 446, 1964.

Поступило в Редакцию 10 октября 1969 г.